

CH₂O

H₂CO

Weinberg A.

Berichte, 1920, 53, 1347

О темлах сирени и работе
диссоциации

1920

К вопросу о
темлах
сирени

сирени

B90 - 9248 - IV

1924

 (CH_2O) H_2C (10)

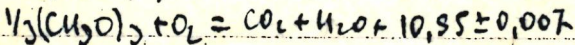
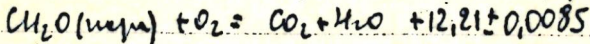
Wartenberg H., Muchlinski A., Riedler G.

Angew. Chem., 1924, 37, 457.

Исследование глицерина

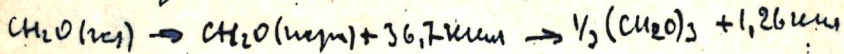
Формы излучения теневых смещений
глицерина (ж), непрозрачного
и 2-нормального (~~состав~~)

p = const.

состав)

C.A. 1925 - 769

По заданному процессу



Для определения количества амбигуитета, CH_2O в таком
жестком процессе через смесь $\text{CO} + \text{H}_2$ в равновесии.

При равновесии $V_{\text{жж}}, P, T$ и т.д. для малых только
смеси CH_2O . Смесь $\text{CH}_2\text{O} + \text{H}_2$ находится в равновесии.

Можно измерять по $\text{CO} + \text{H}_2$ или $\text{CH}_4 + \text{O}_2$

$$\Delta H(\text{H}_2\text{O жж}) = 69,320$$

$$\Delta H(\text{CO}_2 \text{ жж}) = 94,430$$

CH_2O
 H_2CO

1390 - 9242 - 15

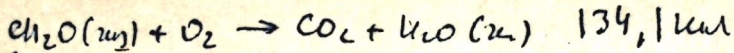
1925

Wartenberg H., Lerner-Steinberg —

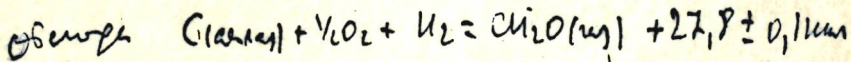
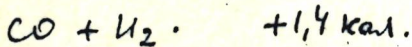
Angew. Chem., 1925, 38, 591.

Тенноса обрешована гурвалхрени
кегало обрешелена, Милински
Тенноса суренс гурвалхрени
158,8 мл/мл. Эво ралоа две нов-
тура и, хобу не обло захерени
суренс суренс, су тенноса суренс
дво неигенс :

C. A. 1925-3202



↑ 3202 жм. вост. V, с выгоранием основной массы ^{из CO} жем
 ± 1%. Для жемов обрешиваем ~~жм~~



H₂CO

Kharasch H.S.,

1929

J. Res. NBS., 1929, 2, 359-430

Темлоба сурену сурену сурену сурену
уени.

Темлоба сурену CH₂O уени

134,1 kcal₁₅/mole уени 561,2 ad. уени

Сурену уени Wartenberg, Mochlinicij,

Riedler, Z. angew. Chem., 1924, 37, 457

Дир

Обзор уени
уени уени
уени уени

срелу |

H₂CO

Newton R.H Dodge B.F

1933

J. Am. Chem. Soc., 1933, 55, ~~4747~~ ⁴⁷⁴⁷

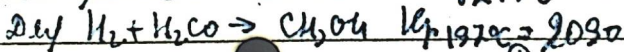
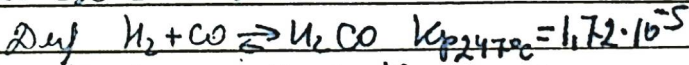
Palmerley Henry, CO, H₂, H₂CO &
CH₃OH I Pressure CO + H₂ ⇌ CH₃OH &



Усложнение за Palmerley Henry

ДНР

200-250°C и 1-3 ат



250 degrees pressure. ДНР

сбсн)

$$\log K_{p1} = \frac{374}{T} - 5,432 \quad \text{а еы} \quad \log K_{p2} = \frac{4500}{T} - 6,470$$

(за полную уверенность по теплов. параметрам!!)

CH₂O

B99 - 9233 - IV | 1933

Walker F.

ΔH_f

"J. Am. Chem. Soc."
1933, 55, 2821-26.

Bφ-8951-IV

1935

CH₂O

Spence R., Wild W.

Tm

J. Chem. Soc., 1935, 506-509

Tb

ΔH_f

1938

Энергия

образ

H_2CO

Schmid R., 1938 L

Math. Naturw. Anz ungar Acad Wiss

57, 637

образ

Энергия образования и диссоциации
углеродных соединений и радикалов

$HCN, C_2H_4, SO_2, CH_2O, COCl_2$

20352 CA 1939

показано, как это получено C (осн соед)

CH₂O

1941

Howser ~~H~~ W
y. Soc Chem Ind 60, 213

Объяснение и коррекция
альтернатива

H₂CO

Thompson H. W.

COCE₂

Trans. Far. Soc., 1941, 37, 251

Термодинамические функции
и равновесия гидрирования, окисления,
гидролизирования, гидратации и полимеризации

Окисление,
Равновесия

Дл ф CH₂O по Rich. Ross.

с60641

CH₂O

Delépine M., Bodoche M.,

Compt. rend., 1842, 214, 777Термохимия CH₂O, (CH₂)₆N₄H
и производныхТеплота
сгорания
каждого

Теплота сгорания в кал и Дж в кал

gly(CH₂O)₃ 4026,7 и 41,85(CH₂O)_n 4008,1 и 22,45

Параформальдегид 3720,4 и 42,7.

H₂CO

Zeise H.

Z. Elektrochem., 1942, 48, 497

Средствами к термодинамике. (III)

Действительность CH₂O в газовой фазе по Рид.

Русск ΔH₂₉₈ = -28480.

Newton Dodge r JACS, 1930, 55, 4750

ΔH_f

Методом измерения теплоты сгорания

H₂ + CO → CH₂O и метод ΔH_f ΔH_f = -28300

и эти цифры в связи с разницей

ΔH_f CH₂O = -27800

H_2CO

Zeise H.

Z. Electrochem., 1942, 48, 707 (653-711)Термодинамические функции неос-
тотных металлов и их соединений, востана-
вление в гидрохлоридной среде

АНР

Синтетический метод.

с 600-11

~~В ГИИИ~~

Cu_2O

D(H-CO)

1946

Style D.W. B., Summers D.,

Trans. Faraday Soc., 1946, 42, 288

Ранее 200°C исследовано образующееся
окисное вещество при температуре
исследования, коэффициент $E = 18$

См в I и III кат.

есть нет на Cu_2O , профиль H-CO.

CH₂O

δH₂O

ВФ-760-IV 1947

Улейман М.Б.

Гербер М.И.

М. анал. Жмшш 2, 135-146

1947

CH₂O

130p-745-IV 71950.

gliceto A.

(ΔH_f)

стр. 786-94.

„Sul. Sistema acqua-formalde.
de. - Nota IV. Tonalita termica
della polimer.

1950

CH₂O

Kenneth A.,

Kobe K. A., Pennington R. E.

Petroleum Refiner 1950, 29, No 9, 135

Термохимия при нестехиометрической избыточности
XIII. Кислотные окисления углеводородов

для C₁ и C₂

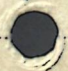
Термохимия

$\Delta H_{298,15}^{\circ} \text{CH}_2\text{O}(\text{г}) = -27,7$

$\text{CH}_3\text{CHO}(\text{г}) = -39,76$

$\text{CH}_3\text{OH}(\text{г}) = -48,1$

Данные



для 4) Sel. Val. NBS

ссылка, с. 45, 429i

CH₂O

№. - 164

Стеacie E. W. R.

1951

D(4-c)

Calvert G. G., Steacie E. W. R.,

<Мем

J. Chem. Phys., 1951, 19, 176

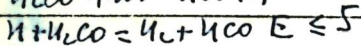
Глобулы графитоподобные в вакуумной камере
при 3130 Å.

Исследованы глобулы CH₂O при 3130 Å в
вакуумной камере. Диаметр их возрастает
200 раз при облучении в вакууме при
помощи ультрафиолетового света, а при
использовании инфракрасного света диаметр
глобул увеличивается.

28

свобод

при добавлении гидроксидов или щелочей
катиона железа. Промышленность
использует. Лучшие свойства



Поэтому, во время обработки на станках
при работе увеличивается температура. Поэтому,
во время работы необходимо при добавлении
щелочей или кислот — за счет увеличения
активности воды и ее свойств.

CH₂O

Bop - 1848 - IV 1952.

de Jong γ G.

de Jonge γ .

"Rec. trav. chim."

1952, 71, 643-60.

(Δ Hay)

исо

Савушкин А.В

ме-173

1952

H₂CO

ДАН СССР, 1952, 97, 631

Защитные свойства при воз-
действии мерзлоты в условиях
справочных данных.

III и I

мерзлоты

мерзлоты в условиях

справочных

$D(CO_2 - H) = 89,2 \text{ мм} \cdot (\text{мг/см}^2 \cdot \text{ч})$

COH₂

материальных данных
исо)

Президента Императорской России
вручен в писем. Хроно сохранил
с. известия мес. Великого

$$D(\text{COH} - \text{ce}) = 73,9$$

1954

CH₂O, CH₃

~~CH₂O~~ ~~Formaldehyd~~ Gray P.,

~~CH₃~~ ~~Aceton~~

Proc. Roy. Soc., 1954, A221, 462

~~CH₃~~ ~~Aceton~~

Alkyl - Ketone: Chemische Eigenschaften

~~CH₃~~ ~~Aceton~~

und ihre Veresterung und Polymerisation

~~NO~~ ~~NO₂~~

prozessen.

Darüber im Zusammenhang vgl. z. B.

Alkyl
oxyd

von H, O, Me, Et, MeO, EtO,

MeOH, EtOH, MeOMe, MeOEt, EtOEt,

CH₂O und MeCHO.

сравн.

~~Aceton~~

C.A. 1954-6264h

$(CH_2O)_2$

Cass R.S. a.o.

Chem. a. Ind. 1955, №14, 387

Анонсовые темные время
перезагрузкиТемное
время

HCO-H

Bφ-5351-III

1957

Alec H. Schoer

(-00)

Ann Rev. Phys. Chem.

1957, 8, 439.

Call Bud

1961

M 1079

CH_3OH , $\text{C}_2\text{H}_5\text{OH}$, $(\text{CH}_3)_2\text{O}$, $(\text{C}_2\text{H}_4)_2\text{O}$, HCHO ,

HCOOH , CH_3COOH , HCOOCH_3 , $(\text{CH}_3\text{CO})_2\text{O}$,

$\text{H}_2\text{C}-\text{O}-\text{O}-\text{CH}_2$, $\text{C}_2\text{H}_5\text{O}-\text{OH}$ (ΔH_f)

Green J.H.S.

Quart. Rev., 1961, 15, 125-52

Thermodynamic properties of organic
oxyden compounds

ARPC., 1965, 63, N 23

$\text{C}_2\text{H}_2\text{O}$

F

COH₂, CO₂

B.P. - 768 - III

1962

($\Delta H, \Delta F,$
 $\Delta S, C_p$)

Venkateswarlu K.,
Rajalakshmi K.V.

Acta phys. Polon., 1962,
22, No. 5, 417-421

9656

1963

CH₃CHO, HCHO (A.H.A.S.)

Grain I.C., McTigue P.T.
J. Chem. Soc., 1963, Nov.,
5217-5223.

Hydration ...

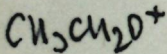
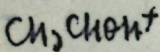
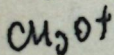
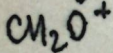
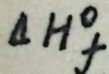
H₂CO

Ионы 9782

1964

· 16 Б409. Энергетика некоторых окисленных органических ионов в газовой фазе. Munson M. S. B., Franklin J. L. Energetics of some gaseous oxygenated organic ions. «J. Phys. Chem.», 1964, 68, № 11, 3191—3196 (англ.)

С использованием масс-спектрометрич. метода определена теплота образования ионов CH_2OH^+ (I), CH_3O^+ (II), CH_3CHOH^+ (III), $\text{CH}_3\text{CH}_2\text{O}^+$ (IV). Для I и III, образующихся при расщеплении молекул нормальных спиртов, она равна 174 и 143 ккал/моль, а для II и IV, образующихся при расщеплении соединений других классов, 202 и 160 ккал/моль. Определено сродство к протону молекул воды, метилового спирта, формальдегида, ацетальдегида, муравьиной уксусной и пропионовой к-т. Результаты сопоставлены с литературными данными.
О. Власов



ж. 1965. 16

CH₂O

Wada G.

1965

D-5

Фиссертаун

(OH₄)

Масс спектрометр.
исследования ...

Cu₂O (Δ $\frac{1}{2}$)

V 2980

1966

Osterwald Jöng. EMK-Messungen an
flüssigem Kupfer im Gleichgewicht
mit festem oder flüssigem Kupfer
(I)-oxid. "Z. phys. Chem."

(BRD), 1966, 49, n 3-5, 138-146

(нем.)

Г. А. - не чужие

ЕСТЬ ОПЕЧАТ.

M

CH₂O Me-152

IV-М-2384

1966

D (M-150)

18 Б703. Кинетика и механизм газофазной реакции йода с формальдегидом и энергия связи C—H в формальдегиде. Walsh R., Benson S. W. Kinetics and mechanism of the gas phase reaction between iodine and formaldehyde and the carbon-hydrogen bond strength in formaldehyde. «J. Amer. Chem. Soc.», 1966, 88, № 20, 4570—4575 (англ.)

Опыты проводились в статических условиях при 543—481,5° К и давл. йода 2,81—3,16 и CH₂O 7,61—74,5 мм. Йодиды, J₂ и CH₂O анализировались спектрофотометрически. Основными продуктами реакции являются CO и HJ. В очень небольшом кол-ве образуется CH₃J. Механизм реакции состоит из элементарных актов: J₂+M \rightleftharpoons 2 J+M (1); CHO+J₂→JCHO+J (2); J+CH₂O \rightleftharpoons CHO+HJ (3); обратная стадия (4); JCHO→HJ+CO.

2. 1967. 18



Формальдегид очень нестоек и сразу распадается. Лимитирующей стадией является реакция (4). Для начальной скорости реакции получено выражение: $0,5 d[\text{HJ}]/dt = k_3 K_{\text{J}_2}^{1/2} [\text{J}_2]_0 [\text{CH}_2\text{O}]_0$, где K_{J_2} — константа равновесия реакции (1). Найдено: $\lg k_3 = 10,92 - 17,43/\theta$ ($\text{лмоль}^{-1} \cdot \text{сек}^{-1}$), где $\theta = 2,303$. Образующийся HJ тормозит реакцию. Из определенного в опыте отношения k_4/k_2 найдено $E_4 \sim 1,5$ ккал. Откуда ΔH р-ции (3) равна $E_3 - E_4 = 15,9$ ккал/моль. Из термодимических данных и теплоты реакции (3) рассчитана энергия связи (НСНО), равная $87,0 \pm 1$ ккал. Рассчитана также π -связь в СО: $D(\text{СО}\pi) = 68,5 \pm 2$ ккал.

С. Поляк

ВФ - 8176 - XIV

1968

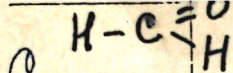
НСНО

2 Б711. Физические свойства углеводородов. Часть 24. C_1 — C_4 -альдегиды. Gallant Robert W. Physical properties of hydrocarbons. Part 24. C_1 — C_4 aldehydes. «Hydrocarbon Process.», 1968, 47, № 5, 151—160 (англ.)

Для муравьиного (I), уксусного (II), пропионового (III) и масляного (IV) альдегидов приведены графич. зависимости след. физ. св-в; давление пара (P) I—IV от -150 до $+240^\circ$; P и парц. давл. водн. р-ров I от 20 до 110° ; теплот испарения I—IV от -80 до $+240^\circ$; теплоемкость газ. и жидк. I—IV от 0 до 1000° и от -80 до $+120^\circ$, соотв.; плотность (ρ) жидк. I—IV от -80 до $+240^\circ$ и ρ водн. р-ров I при 18° ; вязкости газ. и жидк. I—IV от 0 до 500° и -80 до $+80^\circ$; поверхн. натяжения I—IV от -80 до $+100^\circ$; теплопроводность газ. I—IV от 0 до 500° . Часть 23 см. РЖХим, 1969, 23Б743. Н. Зубарева

Ср; ΔM_v ; ρ + CH_3CHO

Л. 1970. 2



C_1-C_4 -aldehydes
p, Cp

BQ - 8176 - XIV

1968

22223b Physical properties of hydrocarbons. XXIV. C_1-C_4 aldehydes. Gallant, Robert W. (Dow Chem. Co., Plaquemine, La.). *Hydrocarbon Process*. 1968, 47(5), 151-60 (Eng). Thirteen graphs are presented which show the vapor pressure, heat capacity, thermal cond., viscosity, and d. of the C_1-C_4 aldehydes. 22 references. J. F. Shultz

+3

C.A. 1968.69.6



ВФ-8282-XIV

1968

МСМО

13 Б1144. Определение констант равновесия реакций гидратации и протонирования формальдегида спектрофотометрическим методом. Силинг М. И., Аксельрод Б. Я. «Ж. физ. химии», 1968, 42, № III, 2780—2786

Спектрофотометрически определены термодинамич. характеристики протонирования формальдегида (I) ($pK_{a,25}^{\circ} = -4,97$, $\Delta H = -1,86$ ккал/моль, $\Delta S = -29$ энтр. ед.) и гидратации I ($\lg K = 1120/T - 2,75$, $\Delta S = -12,6$ энтр. ед.). Значения K , определенные с помощью спектрофотометрирования водн. и сернок-тных р-ров I, близки друг к другу. Автореферат

Кс

Х. 1969. 13

~~MCOT~~

Sumner 2375a-IV 1968
Rep -

MCRO

Lie M.T.H., Laidler Ky

Can. J. Chem., 1968, 46 (4)
(Diff: 20) 479-90.

СЧ. 0

НСМО

ВФ-83-ХIV

1979

12 Б1267. Равновесие в газовой фазе между триоксаном и формальдегидом: стандартная энтальпия и энтропия тримеризации формальдегида. Busfield W. K., Merigold D. The gas-phase equilibrium between trioxan and formaldehyde the standard enthalpy and entropy of the trimerisation of formaldehyde. «J. Chem. Soc.», 1969, А, № 19, 2975—2977 (англ.)

В интервале т-р 72—108° измерены константы равновесия (K_p) р-ции $3\text{H}_2\text{CO}$ (газ) = $\text{C}_3\text{H}_6\text{O}_3$ (газ). Зависимость K_p от т-ры имеет вид: $\lg K_p = (7,35 \pm 0,11) \cdot 10^3/T - (23,8 \pm 0,6)$. При 363° К: $\Delta H^\circ = -140,7 \pm 2,1$ кдж/моль и $\Delta S^\circ = -379 \pm 12$ э. е. При 298,15° К: $\Delta H^\circ = -139,2 \pm 2,1$ кдж/моль, $\Delta S^\circ = -375 \pm 12$ э. е. Результаты хорошо согласуются с расчетом ΔH по данным о теплотах сгорания и значениям ΔS , полученным по спектроскопич. данным и данным о теплоемкости.

И. Васильев

Х. 1970. 12

Мемо

1 Б719. Конденсация формальдегида с амидами.
Slota Raymond, Le Hénaiff Philippe. Sur la
condensation du formol avec les amides. «С. т. Acad. sci.»,
1969, С268, № 15, 1389—1391 (франц.)

1969

Экспериментально изучено равновесие р-ций взаимодей-
ствия формальдегида в водн. р-ре с рядом амидов и
их производных — формальдегидом (I), ацетамидом,
пропионамидом, бутираамидом, изобутираамидом, триме-
тилацетамидом, бензамидом, хлорацетамидом, N-метил-
ацетамидом, N-этилацетамидом, N-изопропилацетамидом
(II), N-ацетилгликолем, N-метилолформаамидом, N-метил-
олацетамидом (III) и N-метилолпропионамидом (IV) при
23°, а также, за исключением последних трех в-в, при
40°. Р-ция проводилась путем прямого синтеза в буф. сре-
де, причем при рН 10 образовывались преимущественно
моно- и дигидроксиметиленамиды, а при рН 4 образовы-

8888

Кс

111

Х. 1970. 1

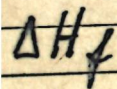
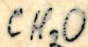
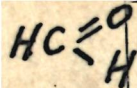


+1



вался также метилендиамид. Состав равновесных смесей определялся путем хим. анализа. По полученным результатам вычислены величины K (равн.), а также для первых восьми аминов — величины ΔH . Наибольшее значение (2760 ± 50 при 23°) имеет K (равн.) в случае I, а наименьшее (5—8 при 23°) в случае II—IV. Величины $-\Delta H$ в среднем равны 5—6 ккал/моль (для I 8,85 ккал). Полученные результаты обсуждаются с точки зрения структуры молекул амидов.

С. Огородников



1970

Birley G. J.

Skinner H. A.

Trans. Far. Soc., 66 (4),
791.(all. $\text{C}_3\text{H}_8\text{O}_2$) I

CH_2O

Bodor N., et al

1970

J. Amer. Chem. Soc.,

92, 13, 3854.

ΔH_f



$\text{C}_2\text{H}_2\text{O}(\text{OH})^-$

Вср - 424 - XIV 1970

p-p

МСНО

K_c

(Б1184.) К вопросу о кислотной диссоциации гидрата формальдегида. Буданов В. В., Кибенко В. Д. «Изв. высш. учебн. заведений. Химия и хим. технол.», 1970, 13, № 10, 1536—1538

Методом потенциометрич. титрования бескарбонатным водн. р-ром NaOH изучено влияние ионной силы р-ра на равновесие р-ции $\text{C}_2\text{H}_2(\text{OH})_2 \rightleftharpoons \text{C}_2\text{H}_2\text{O}(\text{OH})^- + \text{H}^+$ с целью определения термодинамич. константы диссоциации (K_D) метиленгликоля по первой ступени. Графич. методом по ур-нию кривой титрования смеси 2 слабых к-т при 25° и $\mu = 0,2$ —2 определена величина $\text{p}K_D = 12,69$, хорошо согласующаяся с лит. данными. Р. И. Аистова

X. 1971. 9

№20
КСМО

XIV-1425

1970

20 Б681. Измерение теплот сгорания методом пламенной калориметрии. Часть 6. Формальдегид, глиоксаль. Fletcher R. A., Pilcher G. Measurements of heats of combustion by flame calorimetry. Part 6. Formaldehyde, glyoxal. «Trans. Faraday Soc.», 1970, 66, № 4, 794—799 (англ.)

Измерены энтальпии сгорания (ΔH_1) газ. формальдегида (I) и глиоксаля (II) при 25°. Вычислены энтальпии образования (ΔH_2) газ. I и II. Далее приведены соединения, $-\Delta H_1$, $-\Delta H_2$ в ккал/моль: I; $136,42 \pm 0,10$; $25,95 \pm 0,11$; II; $205,76 \pm 0,18$; $50,66 \pm 0,19$. Полученное значение ΔH_2 I сопоставлено с величинами, вычисленными из констант равновесия р-ции, найденными из тепловых эффектов р-ций гидролиза и с лит. значением ΔH_2 определен-

ΔH_f

(+1)

(X)

X. 1970

200

ным ранее (Часть V см. РЖХим, 1970, 11Б1174) тем же методом, что и в данной работе. Вычислена разность энергий связи $2D(\text{H}-\text{CHO}) - D(\text{ОНС}-\text{CHO}) = 105,44 \pm \pm 0,29$ ккал. Энергия связи $D(\text{H}-\text{CHO}) = 88,5 \pm 0,9$ ккал. Этот результат сопоставлен со значениями энергии связи $D(\text{H}-\text{CHO})$, полученными кинетич. и спектроскопич. методами и методом электронного удара. И. Васильев

Memo

XIV-1425

1970

ΔH_{comb}

137184u Measurements of heats of combustion by flame calorimetry. 6. Formaldehyde, glyoxal. Fletcher, R. A.; Pilcher, Geoffrey (Chem. Dep., Univ. Manchester, Manchester, Engl.). *Trans. Faraday Soc.* 1970, 66(4), 794-9 (Eng). The heats of combustion of HCHO and glyoxal have been measured in the gaseous state at 25° and 1 atm pressure by using a flame calorimeter: ΔH_c° (HCHO, g) = -570.77 ± 0.42 kJ mole⁻¹, ΔH° (glyoxal, g) = -860.88 ± 0.75 kJ mole⁻¹. The heats of formation have been related to the dissocn. energies of the C-H bond in HCHO and the central C-C bond in glyoxal to give $2D(\text{H-CHO}) - D(\text{OHC-CHO}) = 441.2 \pm 1.2$ kJ. RCTD

C.A. 1970. 72. 26

ВФ - 194 - XIV

1970

НСОН

24 Б648. Обратимая гидратация формальдегида. Термодинамические параметры. Zavitsas, Andreas A., Coffiner Mark, Wiseman Thomas, Zavitsas Lourdes R. The reversible hydration of formaldehyde. Thermodynamic parameters. «J. Phys. Chem.» 1970, 74, № 14, 2746—2750 (англ.)

Методом УФ-спектроскопии исследовано равновесие реакции гидратации формальдегида в водн. р-ре и вычислены изменение энтальпии $\Delta H = -8,4 \pm 0,5$ ккал/моль и изменение энтропии $\Delta S = -12,6 \pm 1,7$ э. е. Отмечено незначительное смещение максимума полосы поглощения пика при изменении температуры. И. Васильев

ΔH

гидратации

X. 1970. 24

HCO-H

Warneck Peter.

1971

"Z. Naturforsch"

(D)

1971, 26a, N 12, 2047-2057

ромонизация . . .

(ср. CH_2OH^+ ; I)

HCOH

Andre Jean Marie;

1972

(Δ Hamon)

"Ann. Soc. Sci. Bruxelles,
Ser I," 1972, 86 (1) 130-92.

(see HCOH; III)

НСНО

реакция
при высоких
темпер.

3 Б706. Термодинамический расчет выхода формальдегида в реакции $\text{CO}_2 + \text{CH}_4$ при высоких температурах. Есьман В. И., Коломойцев В. С., Мелик-Асланова Т. А. «Азерб. ким. ж.», Азерб. хим. ж., 1972, № 5—6, 24—27 (рез. азерб.)

1972

Приведены методика и результаты термодинамич. расчета выхода формальдегида в р-ции $\text{CO}_2 + \text{CH}_4$ при высоких т-рах. Расчеты проведены при давл. 1, 5, 10, 20, 40 атм и соотношениях исходных продуктов $\text{CO}_2/\text{CH}_4 = 1$;

2; 5; 10; 0,5 в интервале т-р 800—2000° К. Показано, что максимум выхода формальдегида приходится на область т-р 1100—1400° К, смещаясь в сторону более высоких т-р с повышением давл. Показана целесообразность проведения плазмохим. процесса получения формальдегида в р-ции $\text{CO}_2 + \text{CH}_4$ при повышенных т-рах и давлениях.
Автореферат

дс. 1973. № 3

HCHO

ВФ - X - 7896

1973

Hirley S.C.,

Advan. Quantum Chem.

1973, 7, 315-34 (amer).

ΔH_f°
кв. мех.
расчет.

(see list ~~2~~ 1)

C.A. 1973, 78, N22, 141076 B.

30625.74.3
Ph, Ch, TE

H_2CO^+

(АН⁰) 96559 *

4-805

Setser D.W.

Formation of CO^+ ($\Lambda^2 \Pi$) from
dissociation of COS^+ , H_2CO^+ , $HCOOH^+$
and $(HCO)_2^+$.

"Int. J. Mass Spectrom. and Ion Phys.", 1973,
11, N 3, 301-304

(англ.)

0901 ВИК

888 890' 2 2 4

ВИНИТИ

СН₂О

1974

Сокольская А. В., Зельдович Н. М.

Воздействие ультразвуковых волн на водный раствор формальдегида и гидроксиламина.

Журн. физ. химии, 1974, т. 48, вып. 11 ©, с. 2792—2795.

Список лит.: 8 назв.

— — 1. Ультразвук — Химическое действие. 2. Формальдегид — Растворы водные — Действие ультразвука. 3. Гидроксиламин — Растворы водные — Действие ультразвука.

№ 145373

11 № 11972

Вс. кн. пал. 27 XII 74

УДК 543.8

15.3

40807.8791
TC, Ch, Ph

407710

1974

CH₂O д Натом

2260

Eaker Charles W., Hinze Juergen.

Semiempirical MC-SCF theory. I. Closed shell ground state molecules.

"J. Amer. Chem. Soc.", 1974, 96, N 13,
4084-4089

(англ.)

0102.433

135 136

5154

ВИНИТИ

40521.7275
A, A-2, TE

H_2CO

38226

02

1974

(кр)

* 4-4951

Fehsenfeld F.C., Dunkin D.B., Ferguson E.E.

On the association of C^+ and COH^+
with H_2 .

"Astrophys. J.", 1974, 188, N 1, Part 1,
43-44

(англ.) 0 1 1 4

092 095 1 0 6

ВИНИТИ

H_2CO

1976

18 Б802. О теплотах испарения алифатических альдегидов C_1-C_4 и диметилноксиметана. Бражников М. М., Пещенко А. Д., Ралько О. В. «Ж. прикл. химии», 1976, 49, № 5, 1041—1044

В эбулиометрах Свентославского измерены давления насыщ. паров изомаляного альдегида (I) и диметилноксиметана (II) в интервале т-р, соотв. для I 36,1—64,2° и для II 22,9—41,3°. Для этих соединений, а также для формальдегида (III) подобраны коэф. ур-ний Антуана и по предложенным ур-ниям рассчитаны значения т-р кипения для общепринятых давлений, а также скрытые теплоты испарения I, II и III соотв. ΔH (исп.; т. н. к., ккал/моль) 7,71; 7,08 и 4,78, ΔH (исп, 298, ккал/моль) 7,18; 6,83 и 5,43. Рассмотрены закономерности в теплотах испарения в ряду алифатич. альдегидов C_1-C_4 . Автореферат

($\Delta H_v, P$)

X1976 N 18

60407.1823

TC, MGU, Ch, Ph

H_2CO^+ (4H⁺)
40892
 HCO^+ MFR

1976

44-12257

Guyon Paul Marie, Chupka William A.,
Berkowitz Joseph. Photoionization mass
spectrometric study of formaldehyde H_2CO ,
 $HDCO$ and D_2CO .

"J. Chem. Phys.", 1976, 64, N 4, 1419-
143 (SHFA.)

6

0594 PER

564 569

586

ВИНТИ

60407.1823

TC, MGU, Ch, Ph

40892

1976

#4-12251

Guyon Paul Marie, Chupka William A.,
Berkowitz Joseph. Photoionization mass
spectrometric study of formaldehyde H_2CO ,
HDCO and D_2CO .

"J. Chem. Phys.", 1976, 64, N 4, 1419-

143 (англ.)

6

0594 МЕР

232
450

564 569

586

ВИНТИ

CH_2O^+

CHO^+

1977

Rosenstock H. L. et al

J. Phys. Chem. Ref. Data,

1977, 6. Suppl. N1, p1-246

1-277

T.G. CB-BA

70420.4701
Ch, TC

H_2CO

(25071
АНГ)

1977

*9-18059

Slanina Z., Berák P., Zahradník R.
Applicability of semiempirical methods in
calculations of equilibrium constants of
gas-phase chemical reactions.
"Collect. Czech. Chem. Commun",
1977, 42, N 1, 1-15 (АНГЛ.)

0857. ПМК .

804 808 8 4 8

ВИНИТИ

H_2CO^+

1978

Hiraoka Kenzo, et al

"Adv. Mass Spectrom. Vol. 7B.
Proc. 4th Int. Mass Spectrom.
Conf., Florence, 1976. London,
1978, 1408-18.

(ΔH_f)

coll. $C_3H_9^+ - I$

CH₂D

ommuck 8628

1979

Dewar M. J. S., et al.

(ΔHf)

J. Chem. Soc. Faraday

Trans. II, 1979, 75 (6)

829-40

H_2CO

номер 8611

1979

группировка,

номер.

Энергия

повреждения.

Goddard J. D.; et al.

J. Chem. Phys., 1979,
70 (11), 5117-5134.

H_2CO

D_2CO

вращат.
структ.
перехода

1 Д184. Влияние колебания с большой амплитудой на вращательную структуру перехода молекулы формальдегида при 3500 Å. The effect of the large amplitude vibration on the rotational structure of the 3500 Å transition of formaldehyde. Part I., Kreglewski M. «J. Mol. Struct.», 1979, 55, № 1, 135—142 (англ.)

С использованием упрощенного варианта гамильтониана нежесткой молекулы, выведенного Хоугеном, Банкером и Джонсом, в котором учитывается только вращательно-инверсионное взаимодействие, выполнен расчет энергии низких вращательных уровней колебательно-возбужденном электронном состоянии ${}^1(\pi\pi^*)$. Результаты сопоставлены с эксперим. данными, полученными по системе полос при 3500 Å перехода ${}^1A_2 \leftarrow x^1A_1$. Расчет не воспроизводит эксперим. зависимость вращательных постоянных от ν_4 .

1979

(+1)

Ф.1080.№1

H₂CO

Окисление 8164

1979

Окисление
на Cu

Wachs J.E.; Madix R.J.

Surface Sci., 1979, 84,

375-386

The oxidation of H₂CO on a
Cu (110) surface.

CH_2O^+

номер 9318

1980

мерцающ.

Boema W. J.; et al.

смабульн.

Intern. J. Mass Spect.

ΔH разном.

and Ion Phys., 1980,

кв. см.

33, 87-93.

расчет

CH₂O

Commuca 12895

1981.

Bombach R., et al.

mass-spectr

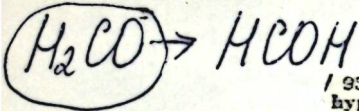
Int. J. Mass-spectrom.

and Ion Phys., 1981,

40, 245-285.

(ΔHf)

1981



ΔH isomeriz.

/ 95: 157043a Features of the formaldehyde potential energy hypersurface pertinent to formaldehyde photodissociation. Goddard, John D.; Yamaguchi, Yukio; Schaefer, Henry F., III (Inst. Theor. Chem., Univ. Texas, Austin, TX 78712 USA). *J. Chem. Phys.* 1981, 75(7), 3459-65 (Eng). Several features of the H_2CO potential surface were explored using recently developed analytic CI gradient techniques. Employing a double zeta plus polarization basis set and CI including all valence shell single and double excitations, the transition state for the mol. dissocn. $\text{H}_2\text{CO} \rightarrow \text{H}_2 + \text{CO}$ was precisely located and characterized by its vibrational frequencies. These results support previous, less sophisticated, theor. predictions that the activation energy for this process is ~ 87 kcal/mol. A similar theor. treatment for the $\text{H}_2\text{CO} \rightarrow \text{HCOH}$ isomerization suggests an activation energy of ~ 84 kcal/mol for this process. For the dissociative process, the reaction pathway was mapped out in the vicinity of the saddle point. At the most complete level of theory, the structures and energetics of cis- and trans-hydroxycarbene were detd. along with some information concerning their (yet unobsd.) electronic spectra. The lowest singlet-singlet vertical electronic transition is predicted to lie at ~ 3.2 eV.

C.A. 1981, 95, N18.

HCHO

CH_2O

(SM)

Ommex 12608

1981

Hatakeyama S., et al.,
J. Phys. Chem. 1981, 25,
2249-54.

H_2CO

1981

15 Б1054. Роль промежуточного продукта, постулированного Криги, в исследовании реакции $\text{CH}_2 + \text{O}_2$ методом матричной термолюминесценции. Martinez Richard I., Huie Robert E., Herro'n John T. The role of the Criegee intermediate in the matrix thermoluminescence study of the $\text{CH}_2 + \text{O}_2$ reaction. «J. Chem. Phys.», 1981, 75, № 12, 5975—5977 (англ.)

м.п., Di

Обсуждаются результаты работы Ли и Пиментела (Lee Y.-P., Pimentel G. C., «J. Chem. Phys.», 1981, 74, 4851) по исследованию спектров матричной термолюминесценции в системе $\text{CH}_2 + \text{O}_2$, где были обнаружены две системы полос испускания муравьиной к-ты в областях 310—360 и 390—490 нм (переходы $a^3A'' \rightarrow X^1A'$ и $A'^1A' \rightarrow A^1A''$ соотв.). Сделан вывод, что эти системы обусловлены образованием возбужденных мо-

X. 1982, 19, N 15.

лекул муравьиной к-ты при изомеризации возбужденного промежуточного продукта типа диоксиметилена H_2COO , возникающего в первичном процессе взаимодействия $\text{CH}_2 + \text{O}_2$ и постулированного Криги (Criegee R., «Angew. Chem. (Int. Ed.)» 1975, 14, 745). Этот промежуточный продукт наблюдался ранее другими исследователями при озоноллизе алкенов. Другие возможные структуры промежуточных продуктов, например, диоксиран $\text{H}_2\text{C}-\text{O}-\text{O}$ или метиленбис(окси) $\text{H}_2\text{O}(\text{O})\text{O}$, исключаются ввиду отсутствия соответствующих полос в ИК-спектрах продуктов, стабилизированных в матрице. В. Е. Скурат

H_2CO

1982

4 Б1108. Влияние растворителя на электронные переходы и другие свойства растворенных молекул. The effect of the solvent on electronic transitions and other properties of molecular solutes. Bonaccorsi R., Ghio C. «Curr. Aspects Quantum Chem., 1981. Proc. Int. Conf. and Workshop, Barcelona, 28 Sept.—3 Oct., 1981». Amsterdam e. a., 1982, 407—426 (англ.)

Развита процедура колич. учета влияния р-рителя на электронные св-ва молекул, основанная на прямой оценке зарядового распределения, индуцированного поляризацией р-рителя на поверхности полости, окружающей молекулу. Соотв-щий эффективный гамильтониан включает электростатич. компоненту взаимодействия р-ренной частицы с р-рителем. Учет этой компоненты в гамильтониане приводит к модификации эффективных зарядов на атомах р-ренной молекулы, что, в свою очередь, изменяет поляризацию среды вне полости. Т. обр. осуществляют необходимое число итераций, пока не будет достигнута сходимость в эффективных зарядах

миссия
оценки

⊠
74

X. 1984, 19, N 4

или в поляризации. Развитый метод может быть применен к молекулам любого размера и достигаемый уровень точности расчета определяется качеством используемых неэмпирических волновых функций. Детально рассматривается применение метода для расчета обусловленных сдвигов в электронных спектрах поглощения и испускания. Численные оценки проведены для молекул H_2CO , CH_2NCO , $(\text{CH}_3)_2\text{CO}$, FHCN и F_2CO .

Э. Герман

H_2CO

1982

3 Б68. Спектрофизика и фотохимия молекулы формальдегида. Часть II. Spectrophysics and photochemistry of the formaldehyde molecule. Part II. Buck Henk M. «Res. trav. chim. Pays. Bas», 1982, 101, № 7—8, 225—233 (англ.)

Статья обзорного характера. Обобщены результаты квантовохимических расчетов фотофиз. и фотохим. св-в формальдегида (I). Показано, что при фотовозбуждении могут происходить: а) изомеризация I в оксикарбен HCOH (II), б) прямая диссоциация I на $H_2 + CO$ и в) прямая диссоциация $I \rightarrow H \cdot + HCO \cdot$. Активац. барьер (АБ) в реакции $I \rightarrow II$, рассчитанный в двухэкспоненциальном базисе с дополнительным включением в него поляризац. орбиталей и учетом электронной корреляции, составляет 84 ккал/моль. Энергия нижнего возбужденного синглетного состояния составляет лишь 80,6 ккал/моль. Автор считает, что фотохим. р-ция $I \rightarrow II$ может протекать либо путем туннелирования протона, либо путем катализа этой р-ции молекулой с гетероатомом. АБ обр. р-ции $II \rightarrow I$ 31 ккал/моль. Указано

ΔH_f ;

(4) ~~7~~

X. 1983, 19,
N 3

HCOH (ΔH)

на существование еще одного пути образования II из фотовозбужденного циклич. димера I+I с синхронным переносом двух протонов. Для объяснения дальнейших превращений II автор привлекает представление об образовании димеров II+I и II+II. Теплота образования димеров, рассчитанная в базисе ОСТ-ЗГФ, составляет 1 ккал/моль для I+I, 5 ккал/моль для I+II и 20 ккал/моль для II+II. Из димеров I+II и II+II могут образовываться гликольальдегид с АБ 6 ккал/моль, метанол+СО с АБ 10—14 ккал/моль и метиловый эфир муравьиной к-ты с АБ 35 ккал/моль. На примере транс-динида рассмотрены различные пути 1,2-сдвига протона: внутримолек. и бимолек. с синхронным переносом двух протонов в циклич. димере. Показано, что бимолек. перенос требует преодоления существенно более низкого АБ.

К. Я. Бурштейн

H_2CO

формальдегид

От. 15639

1982

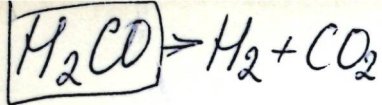
5 Б826. Вращательная релаксация формальдегида: измерение γ и влияние температуры. Relaxation rotationnelle du formaldéhyde: mesure de γ , effet de la température. Chardon Jean-Claude, Labrune Jean-Claude. «C. r. Acad. sci.», 1982, sér. 2, 295, № 2, 157—160 (фр.; рез. англ.)

Исследовано расширение газ. формальдегида (I) в вакуум при различных исходных и конечных давл. и т-рах источника. По зависимости приведенной средн. скорости расширения от конечного давл. газа при 235 К вычислено отношение изобарной теплоемкости к изохорной $\gamma = C_p/C_v = 1,40$. Расчет значения γ по соотношению т-рных вкладов вращательного и трансляц. движения при различных исходных давл. дал $\gamma = 1,39$. Отличие эксперим. значений γ от теор. $\gamma = 1,33$ (для трех степеней свободы вращения молекулы I) объяснено несогласованностью трансляц. механизма переноса I с временем релаксации молек. вращательных мод I. Определены поперечные сечения вращательно-трансляц. переноса энергии σ_p при т-рах источника 235, 300 и 410 К, равные 23, 21 и 19 Å².

П. М. Чукуров

C_p/C_v

X. 1983, 19, N5



1982

Cimiraglia R., et al.

Chem. Phys. Lett.,
1982, 85, N3, 262-265.

$\Delta H;$

(see $H_2CO \Rightarrow H_2 + CO_2; \bar{I}$)

$\text{C}_4\text{H}_2\text{O}^+$

1982

Fraser-Monteiro Maria L.,
et al.

A.P.,

ΔM_f

J. Phys. Chem., 1982,
86, N5, 739-747.

(see $\text{C}_4\text{H}_8\text{O}_2^+$!)

D₂O

1982

Требов А. А., Тавелогенко

А. И. и др.

Ишмер,
Структ.

Оптика и спектро-

скопия, 1982, 53, N 5,

812-816.

(см. CO₂; III)

H₂CO

1982

Требов Л.А., Павленко
ко А.И. и др.

геометр., Оптика и электро-
структ., Скочин, 1982, 53, N5,
812-816.

(ссыл. CO₂; III)

CH₂O

1982

форманге-
уг

96:150090a Relative thermochemical stabilities of hydroxymethylene and formaldehyde by ion cyclotron double resonance spectroscopy. Pau. Chin Fong; Hehre, Warren J. (Dep. Chem., Univ. California, Irvine, CA 92717 USA). *J. Phys. Chem.* 1982, 86(8), 1252-3 (Eng).. The heat of formation of hydroxymethylene [19710-56-6] was detd. by ion cyclotron double resonance spectrometry to be 54.2 kcal/mol above that of formaldehyde. This agrees with the results of recent quantum chem. calens., which suggest a difference of 47-54 kcal/mol.

ΔH_f

K_c

e. A. 1982, 96, N 18

(cu D₂COH⁺, I)



1982



97: 188522b Geometry dependence of the proton affinities in the electronic ground, excited triplet and ionized doublet states of H_2CO and H_2COH^+ . Strausz, Otto P.; Kapuy, Ede; Kozmutza, Cornelia; Robb, Michael A.; Csizmadia, Imre G. (Dep. Chem., Univ. Alberta, Edmonton, AB Can. T6G 2G2). *THEOCHEM* 1982, 6(3-4), 235-45 (Eng). The ionization potential of the closed shell H_2CO , H_2COH^+ , $H_2COH_2^{2+}$ as well as the proton affinity of H_2CO and H_2COH^+ were studied at a variable CO bond length in the ground singlet and some of the low lying excited triplet and ionized doublet states.



C.A. 1982, 97, N22 ●

$[\text{HCOH}]^+$

1983

Burgers Peter C.,
Mommers A. A., et al.

ΔH_f° ; I;

J. Amer. Chem. Soc.,
1983; 105, N19, 5976-

● - 5979

(see $[\text{COM}]^+$; I)

H₂CO

1983

Dupuis M., Lester W. A.,
et al.

J. Chem. Phys., 1983,
79, N12, 6167-6173.

4 M;

(see H₂CO; III)

$H_2CO(aq)$ [Om. 17292]

1983

$K_p c H^+$

Guthrie J.P.,
Accounts Chem. Res.,
1983, 16, N 4, 122-129.

H_2CO^+

Om. 20278 1

1984

Barbier C., Galloy C.,
et al.,

\tilde{A}^2B_1 ,
ab initio
pacrim

J. Chem. Phys., 1984, 81(7),
2975-2980.

(HO)CH²⁺

1984

13 Б1141. Стабильность и фрагментация дикатионов формальдегида и гидроксиметилена. *Stabilité et fragmentation des dications formaldéhyde et hydroxyméthylène. Stahl D., Maquin F. «Spectroscopy», 1984, 3, № 2—3, 184—189 (фр.; рез. англ.)*

Взаимодействием ионов (HO)CH⁺ (из MeOH) с O₂ получены ионы (HO)CH²⁺. Диссоциация этих ионов при активизирующих столкновениях проходит с образованием HCO⁺ и H⁺. На основе массы пика, отвечающего этому процессу, найдено ΔH_f° 2683 кДж·моль⁻¹. Выделяемая в результате этого процесса кинетич. энергия (4,08 эВ) отвечает расстоянию между зарядами 4 А. Методом ССП МО получена энергетич. диаграмма возможных направлений данной р-ции, наиболее предпочтительной из к-рых является элиминирование Н-атома гидроксигруппы. Д. В. Загоревский.

ΔH_f° ,

Х. 1986, 19, ~ 13

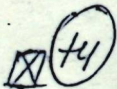
Насо

1984

15 B1010. Распространение статистического выражения для энергии на многодетерминантные волновые функции. On the extension of the statistical energy expression to multi-determinantal wave functions. Ziegler Tom. «Local Density Approximat. Quantum Chem. and Solid State Phys. Proc. Symp., Copenhagen, 10—12 June, 1984». New York; London, 1984, 273—285 (англ.)

Обсуждена возможность использования статистич. $X\alpha$ приближения для вычисления энергии состояний многоэлектронных систем, описываемых многодетерминантными ф-циями. Отмечено, что обменно-корреляционная энергия $X\alpha$ -метода в первоначальном определении Слейтера (т. е. с помощью функции фермиевской дырки), содержит лишь вклад обменного взаимодействия, обусловленного антисимметрией волновой ф-ции (например, слейтеровского детерминанта). Рассмотрен подход, при котором в случае, когда энергия системы разбивается на сумму вкладов детерминантов, вклад обменной

расчет ξ_i



X. 1985, 19, N 15

Энергии отдельного детерминанта аппроксимируется $X\alpha$ -функционалом плотности. Рассчитанные в этом приближении энергии синглет-триплетного расщепления N_2CO , C_2H_2 , C_4H_6 , CO , N_2 удовлетворительно согласуются с экспериментальными данными. Приведена формула для статистич. аппроксимации энергии системы, в многоконфигурац. волновой ф-ции которой учтены лишь двухкратные возбуждения с одной и той же орбитали базисного детерминанта. Для N_2 эта ф-ла приводит к правильному диссоциац. пределу. О. Гриценко

ИСТЕ
НЫХ

H_2CO

1985

12 Л235. Индуцированное вращением смешивание колебательных уровней в формальдегиде в состоянии X^1A_1 . Непренебрежимое динамическое следствие вращения. Rotation-induced vibrational mixing in X^1A_1 formaldehyde: Non-negligible dynamical consequences of rotation. Dai H. L., Korra C. L., Kinsey J. L., Field R. W. «J. Chem. Phys.», 1985, 82, № 4, 1688—1701 (англ.)

Методом накачки стимулированного испускания изучена структура индивидуальных колебательно-вращательных состояний формальдегида в основном электронном состоянии X^1A_1 в интервале колебательных энергий от 7400 до 8600 cm^{-1} . С помощью двух лазеров на красителях с шириной линии генерации $\sim 0,05 cm^{-1}$

структура
индивид. состоян.
колеб. - вращ.
состоян.

ср. 1985, 18, № 12

последовательно производилось возбуждение молекулы на длине волны $\lambda = 354$ нм и перевод ее за счет вынужденного испускания на высоковозбужденные колебательные уровни основного электронного состояния, их набор определялся франк-кондоновским фактором. Отмечена высокая плотность состояний при возбуждении вращения молекулы, что связано с перемешиванием состояний за счет кориолисовых взаимодействий. Расчет, выполненный в гармонич. приближении, качественно объясняет эксперим. результаты. Количеств. расхождения связаны с учетом ангармоничности. Сделан вывод о существенной роли вращательного движения в формировании квазиконтинуума и ИК-многофотонной диссоциации. Библ. 50. М. В. Т.

H₂CO

Am. 22 128 |

1985

непривлек-
ательности
для неко-
лих ме-
ристов.

Saito K., Kakeimo-
to T., et al.,

J. Phys. Chem.,
1985, 89, N/4, 3109 -
3113. ●



1987

108: 63526v Heat of formation and bond energies of methoxy cation (H_3CO^+) and H_3COOH^+ ions. Ferguson, E. E.; Roncin, J.; Bonazzola, L. (Cent. Orsay, Univ. Paris-Sud, 91405 Orsay, Fr.). *Int. J. Mass Spectrom. Ion Processes* 1987, 79(2), 215-20 (Eng). The heat of formation of the triplet ground-state H_3CO^+ methoxy cation was detd. to be 245 ± 6 kcal/mol from a detn. of $\Delta H_f(\text{H}_3\text{COOH}^+) = 204$ kcal/mol and an est. of the bond energy $D(\text{H}_3\text{CO}^+-\text{OH}) = 50$ kcal/mol. The resulting bond energy $D(\text{H}-\text{H}_2\text{CO}^+)$ is 31 kcal/mol. This is in good agreement with the exptl. value $\Delta H_f(\text{H}_3\text{CO}^+) = 247 \pm 5$ kcal/mol of Burgers and Holms (1984) and somewhat lower than the theor. value, 260 kcal/mol of W. J. Bouma et al. (1982).

 $(\Delta_f H)$ c. A. 1988, 108, N 8

H₂ CO

1987

Knyazev D. A., Myasoe-
dov N. F. et al.

Ср,
меруог.
сб-ба

Теор. Дзн. Хим. Техн-
кол. 1987, 21 (4), 472-9.

(сир. FNNF; I)

НСОН^{•+}

1989

8 БЗ037. Теплота образования катиона-радикала гидроксометилена. Значение обратимой энергии активации. Heat of formation for the hydroxymethylene radical cation. The importance of reverse activation energy / Ma N. L., Smith B. J., Collins M. A., Pople J. A., Radom L. // J. Phys. Chem.— 1989.— 93, № 23.— С. 7759—7760.— Англ.

Энтальпия образования радикала $\text{НСОН}^{\bullet+}$ (I) вычислена по разности энергий активации $\Delta_f H^\circ$ (I) = $\Delta_f H^\circ$ (CH₃OH) + AE (I) - E_a^r - E^s, где AE — энергия появления I, E_a^r — энергия активации обратной р-ции, E^s — кинетич. сдвиг в предположении, что квантово-механич. туннелирование близко к нулю. Рекомендованы $\Delta_f H^\circ$ к (I) = 971 кДж/моль и $\Delta_f H_{298}^\circ$ к (I) = 968 кДж/моль. Л. Резницкий

ВНф

Х. 1990, № 8

CHOH

1989

111:230275u Heat of formation for the hydroxymethylene radical cation: the importance of reverse activation energy. Ma, Ngai Ling; Smith, Brian J.; Collins, Michael A.; Pople, John A.; Rabin, Leo (Res. Sch. Chem., Aust. Natl. Univ., Canberra, 2601 Australia). *J. Phys. Chem.* 1989, 93(23), 7759-60 (Eng).

The importance of taking into account reverse activation energy and isotope effects in calcg. heats of formation from appearance energy measurements is demonstrated in the particular case of $\text{HCOH}^{\bullet+}$ produced from CH_3OH . New heats of formation for $\text{HCOH}^{\bullet+}$ of 971 kJ/mol (ΔH_f°) and 968 kJ/mol (ΔH_f°) are obtained on this basis. The discrepancy between theor. and exptl. ests. of the energy difference between $\text{HCOH}^{\bullet+}$ and $\text{H}_2\text{CO}^{\bullet+}$ is resolved.

(ΔH_f)

C.A.1989, 111, N24

H₂CO

1989

111:104762b Frequency and intensity analysis of the ν_3 , ν_4 , and ν_6 bands of formaldehyde. Reuter, D. C.; Nadler, S.; Daunt, S. J.; Johns, J. W. C. (Lab. Extraterr. Phys., NASA, Greenbelt, MD 20771 USA). *J. Chem. Phys.* 1989, 91(2), 646-54 (Eng). The IR spectra of the ν_3 , ν_4 , and ν_6 bands of formaldehyde in the region from 890 cm⁻¹ to 1580 cm⁻¹ were obtained at high resolu. using tunable diode laser and Fourier transform IR spectroscopy. The transition frequencies were analyzed using a Hamiltonian including terms through sextic in centrifugal distortion and including 5 interstate vibration-rotation coupling terms. Excited state pure rotational transitions are also included in the data, and their frequencies are reproduced well. Individual measured line intensities were used to detn. dipole derivs. and band strengths using the fully coupled, asym. top eigenvectors.

(Vi)

C.A. 1989, 111, N12

CH₂O

1989

111: 141792g Thermophysical properties of the urea-formaldehyde system measured under near-industrial-process conditions. Starzynska, K.; Wyrzykowska-Stankiewicz, D.; Randzio, S. L. (Res. Inst. Ind. Chem., 01-793 Warsaw, Pol.). *Thermochim. Acta* 1989, 146, 271-8 (Eng). The results of calorimetric measurements of the overall heat effects, sp. heats, adiabatic temp. courses and thermokinetic data for the urea-formaldehyde reactions are presented. The measurements were performed under near-industrial-process conditions with respect to temp., reactant ratio and pH of the reaction medium. In the mildly alk. pH region, the measurements were performed in two steps showing the concn. dependence of the enthalpy changes. The resulting reaction mixts. had almost identical sp. heats regardless of the initial amt. of urea added. The sp. heats of concd. formaldehyde solns. detd. at 324 K proved to be quite close (~5%) to the ideal mixt. ests.

(cp)

c. A. 1989, 111, N16

УСНО (ад)

1992

11 Б3178. Теплоты разбавления в водных и метанольных растворах формальдегида. Heat of dilution in aqueous and methanolic formaldehyde solutions / Hasse Hans, Maurer Gerd // Ber. Bunsenges. phys. Chem.— 1992.— 96, № 1.— С. 83—96.— Англ.

В интервале т-р 298—363 К измерены и табулированы теплоты разбавления (300 эксперим. точек) бинарных, тройных и четверной смесей, содержащих формальдегид (I), воду, метанол и триоксан. Измерения выполнены в проточном калориметре, для которого разработаны новые ячейки смешения. Теплоты разбавления в смесях, содержащих I, обусловлены физ. и хим. эффектами, т. к. I взаимодействует с водой и метанолом. Наблюдаемые тепловые эффекты, как правило, малы (меньше 250 Дж/моль) и для большинства тех. целей ими можно пренебречь. Разработана физ.-хим. модель для многокомпонентных смесей I, к-рая применена для корреляции эксперим. данных. Физ. эффекты рассмотрены в рамках метода групповых вкладов UNIFAC, а энтальпии р-ций использованы для описания хим. вкла-

Х. 1992, № 11

дов. Модель хорошо описывает большинство эксперим. данных для бинарных смесей. Экстраполяция на многокомпонентные системы с использованием только бинарных данных дает лишь качественное согласие с экспериментом.

И. Е. Кузнец



А С Н О

1992

253100. Изменение энтальпии при испарении водных и метанольных растворов формальдегида. Enthalpy change on vaporization of aqueous and methanolic formaldehyde solutions /Liu Y.-Q., Hasse H., Maurer G. //AIChE Journal. —1992 .—38 ,№ 11 .—С. 1693—1702 .—Англ.

В интервалах т-р 323^о—363 и 312—347 К в специально сконструированном проточном калориметре с тонкослойным испарителем измерены изменения энтальпии при испарении ($\Delta_v H$) соотв. водн. (конц-ии до $\sim 0,3$ М) и метанольных р-ров формальдегида (I) конц-ии до 0,6 М. Эксперим. данные сопоставлены с соотв-щими значениями $\Delta_v H$,

(ΔH)

X.1994, N2

предсказанными в рамках ранее разработанной физ.-хим. модели для равновесия пар — жидкость в многокомпонентных смесях, содержащих I. Установлено, что расхождение между предсказанными и измеренными значениями $\Delta_v H$ для обеих систем не превышает нескольких процентов. Для улучшения согласия с экспериментом модельные параметры, первоначально оцененные из некалориметрич. измерений, были подогнаны к калориметрич. данным. Это позволило уменьшить расхождение между теорией и экспериментом до ± 1 и $\pm 2\%$ соотв. для водн. и метанольных р-ров I.

И. Е. Кузинец

H₂O

1998

Keck, James C.,

мермет.
св-па,
мерет,
радет

J. Phys. Chem. A 1998,
102 (44), 8607-13

(ан. HCO ● ; I)